

انقباض پلیمریزاسیون در کامپوزیت‌های حاوی سیلوران و متاکریلات با دستگاه‌های تابشی LED با شدت‌های مختلف

دکتر ایوب پهلوان^۱- دکتر معصومه حسنی طباطبایی^۱- دکتر سکینه آرامی^۲- دکتر محمد عطایی^۳- دکتر سارا ولیزاده^۴
 ۱- دانشیار گروه آموزشی ترمیمی و زیبایی، دانشکده دندانپزشکی، دانشگاه علوم پزشکی و خدمات بهداشتی، درمانی تهران، ایران
 ۲- استادیار گروه آموزشی ترمیمی و زیبایی، دانشکده دندانپزشکی، دانشگاه علوم پزشکی و خدمات بهداشتی، درمانی تهران، ایران
 ۳- پژوهشگاه پلیمر و پتروشیمی ایران
 ۴- متخصص دندانپزشکی ترمیمی و زیبایی، دانشکده دندانپزشکی، دانشگاه علوم پزشکی و خدمات بهداشتی، درمانی تهران، تهران، ایران

Comparison of Polymerization Shrinkage in Methacrylate and Silorane-Based Composites Cured by different LEDs

Ayob Pahlevan¹, Masumeh Hasani Tabatabaei², Sakineh Arami³, Mohammad Ataie³, Sara Valizadeh⁴

1- Associate Professor, Department of Operative Dentistry, School of Dentistry, Tehran University of Medical Sciences, Tehran, Iran

2- Assistant Professor, Department of Operative Dentistry, School of Dentistry, Tehran University of Medical Sciences, Tehran, Iran

3- Iran Polymer and Petrochemical Institute (IPPI)

4- Specialist in Operative Dentistry, School of Dentistry, Tehran University of Medical Sciences, Tehran, Iran (valizadeh.sara@yahoo.com)

Background and Aims: Polymerization shrinkage in Methacrylate-based composite is one of the most important factors in composite restorations failure. Silorane-based composite is introduced to compensate this drawback and claimed to have low shrinkage. The aim of this study was to evaluate the polymerization shrinkage of these two composites.

Materials and Methods: In this experimental study, 5 disk shape samples for each resin composites were placed in the centre of metallic ring bonded to microscopic glass slab. Top surface of ring was covered by a glass cover slip. Glass slab and sample were placed on a special LVDT holder in order to light cure from bottom surface and to measure the polymerization shrinkage. In this study, Deflecting Disk method and LVDT (linear variable differential transducer) was used for dimensional change measurement of resin composites. In this study, two LED curing units were used for composite polymerization.

Results: The mean of polymerization shrinkage in Z250 cured with LED and High Power LED was $11.15 \pm 0.08 \mu\text{m}$ and $11.51 \pm 0.17 \mu\text{m}$, respectively ($P=0.094$), and in P90 cured with LED and High Power LED was $1.08 \pm 0.06 \mu\text{m}$ and $1.16 \pm 0.12 \mu\text{m}$, respectively ($P=0.019$).

Conclusion: Silorane-based composite (P90) showed significantly less polymerization shrinkage than that of methacrylate-based composite (Z250). For the two types of composite, there was no significant difference between the two curing units in polymerization shrinkage.

Key Words: Polymerization; Composite Resin; Silorane; Methacrylate; LED Dental Curing Lights

Journal of Dental Medicine-Tehran University of Medical Sciences 2013;26(1):27-32

چکیده

زمینه و هدف: انقباض پلیمریزاسیون کامپوزیت‌های با بیس متاکریلات یکی از مهم‌ترین عوامل در شکست ترمیم‌های کامپوزیت می‌باشد. برای برطرف کردن این نقصه، کامپوزیت‌های با بیس سیلوران معرفی شده‌اند. ادعا شده است که این کامپوزیت‌ها دارای حداقل انقباض می‌باشند. هدف از این مطالعه بررسی میزان انقباض پلیمریزاسیون این دو نوع کامپوزیت بود.

روش بررسی: در این مطالعه تجربی، ۵ نمونه دیسکی شکل از هر کامپوزیت رزین در مرکز یک رینگ فلزی باند شده به لام میکروسکوپ قرار گرفت. سطح رویی رینگ با لام پوشانده شد. لام همراه نمونه کامپوزیتی روی پایه مخصوص دستگاه LVDT (linear variable differential transformer) طراحی شده برای این منظور قرار گرفت تا امکان تابش و کیورینگ نمونه‌ها از سطح تحتانی لام فراهم شود. در این آزمایش، برای بررسی تغییرات ابعادی نمونه حین پلیمریزاسیون، از روش Deflecting Disk و دستگاه LVDT استفاده شد. ضمناً در این مطالعه، از دو دستگاه تابشی LED با شدت‌های مختلف، برای پلیمریزاسیون کامپوزیت‌ها استفاده شد.

یافته‌ها: میزان انقباض پلیمریزاسیون درمورد کامپوزیت Z250 کیور شده با LED و High Power LED به ترتیب $11/15 \pm 0.8 \mu\text{m}$ و $11/15 \pm 0.08 \mu\text{m}$ و $11/51 \pm 0.17 \mu\text{m}$ درمورد کامپوزیت P90 کیور شده با LED و High Power LED به ترتیب $1/0.8 \pm 0.06 \mu\text{m}$ و $1/0.8 \pm 0.16 \mu\text{m}$ بود. تفاوت معنی‌داری بین دستگاه‌های تابشی LED و High Power LED در میزان انقباض پلیمریزاسیون هر دو نوع کامپوزیت دیده نشد (P-value Z250 و P90 به ترتیب 0.94 و 0.19 بود).

نتیجه‌گیری: مقدار انقباض پلیمریزاسیون در کامپوزیت‌های با هر دو دستگاه تابشی، کمتر از کامپوزیت‌های با بیس متاکریلات بود.

کلید واژه‌ها: پلیمریزاسیون؛ کامپوزیت؛ سیلوران؛ متاکریلات؛ دستگاه کیورینگ LED

وصول: ۹۱/۰۷/۱۱ اصلاح نهایی: ۹۲/۰۲/۲۵ تأیید چاپ: ۹۲/۰۳/۰۱

مقدمه

دندان و کامپوزیت به وجود می‌آید که باعث نشت بzac، نفوذ باکتری‌ها و پوسیدگی ثانویه خواهد شد و درنهایت ترمیم با شکست مواجه می‌شود. مقدار این انقباض تحت تأثیر فاکتورهای مختلفی مثل زمان کیورینگ، شدت بالای دستگاه تابشی، ترکیب ماتریکس، محتوای فیلر و غلظت فعال شونده نوری در کامپوزیت است (۱).

پیشنهادات مختلفی برای کاهش انقباض پلیمریزاسیون وجود دارد. به عنوان مثال تکنیک جایگذاری کامپوزیت به صورت لای‌لایه و پلیمریزاسیون Soft Start. منابع نوری مختلف نیز ممکن است روی میزان این انقباض تأثیرگذار باشند. از جمله دستگاه‌های تابشی که برای پلیمریزاسیون کامپوزیت‌ها مورد استفاده قرار می‌گیرند LEDها هستند. طول عمر زیاد و برون ده انرژی نورانی با ثبات، از مزایای این دستگاه‌هاست. High Power LED نیز با شدت بالاتری نسبت به LED‌های معمول در دسترس است که بنابر پیشنهاد سازنده در مدت زمان کمتری، سبب ایجاد DC (Degree of Conversion) بالاتر معمولاً در ارتباط با انقباض در کامپوزیت می‌شود. البته DC بالاتر معمولاً در ارتباط با انقباض پلیمریزاسیون با (Degree of Conversion) DC مطلوب را نشان دهد. نوع کامپوزیت هم می‌تواند عاملی موثر در انقباض پلیمریزاسیون مطرح گردد (۲). حذف فاصله بین کامپوزیت و نسج دندان از طریق

در سال‌های اخیر، کامپوزیت‌ها به علت هزینه پایین، تکنیک محافظه‌کارانه و همینطور زیبایی قابل قبول برای ترمیم دندان، بسیار مورد استفاده قرار می‌گیرند. اگرچه در طول زمان بسیاری از خصوصیات فیزیکی و مکانیکی آن‌ها بهبود یافته است ولی همچنان انقباض پلیمریزاسیون به عنوان مهم‌ترین کاستی کامپوزیت‌ها مطرح است (۱). به منظور ترمیم دندان بدون ریزنشت، باید در حدفاصل ترمیم و دندان، تطابق ابعادی وجود داشته باشد. تطابق دقیق باید حین سخت شدن ماده به دست آمده و در جریان سیکل‌های حرارتی و مکانیکی هم حفظ شود. متأسفانه موادی نظیر کامپوزیت رزین‌ها این نیاز را برآورده نمی‌کنند. ثبات ابعادی این مواد به وسیله واکنش پلیمریزاسیون فاز ماتریکس تحت تأثیر قرار می‌گیرد (۲).

فرآیند پلیمریزاسیون کامپوزیت، با تبدیل مولکول‌های مونومر ماتریکس به زنجیره پلیمری و درنتیجه کاهش فضای بین این مولکول‌ها اتفاق می‌افتد، درنتیجه حجم کامپوزیت نسبت به مقدار اولیه کاهش می‌یابد. این پدیده تحت عنوان انقباض پلیمریزاسیون شناخته شده است. بیش از حد بودن این انقباض مهم‌ترین فاکتور در شکست ترمیم می‌باشد (۳). این انقباض موجب ایجاد استرس بین دندان و کامپوزیت می‌شود و درنتیجه این استرس، شکاف کوچکی در ناحیه بین

حدوأ ۱ ایه شده است.

دستگاههای تابشی مورد استفاده در این مطالعه، دو دستگاه تابشی دیود، یکی Ultralume-2 با دودیود منتشرکننده نور و دیگری High Power LED Bluephase.16i بود که یک مشخصات است. دستگاههای تابشی، مورد استفاده در جدول ۲ آباه شده است.

از ماده خمیری هر کامپوزیت، پنج نمونه به شکل دیسک و به ابعاد $1/5 \times 8$ میلی‌متر تهیه شد. این نمونه‌ها در مرکز یک رینگ فلزی به قطر 16 میلی‌متر و ارتفاع $1/5$ میلی‌متر و باند شده روی لام میکروسکوپ (75×25) قرار گرفتند. سطح فوقانی رینگ توسط Cover-slip شیشه‌ای میکروسکوپ (ضخامت 130 میلی‌متر) پوشانده شد. لام همراه نمونه روی پایه مخصوص دستگاه LVDT شده، برای این منظور قرار گرفت تا امکان تابش و کیورینگ نمونه‌ها از سطح تحتانی لام فراهم شود. هر کدام از نمونه‌ها توسط دستگاه تابشی با مدت زمان و توان مشخص تحفظ تابش، قرار گرفتند (جدول ۲).

در این آزمایش برای بررسی تغییرات ابعادی نمونه حین پلیمریزاسیون، از روش Deflecting Disk و دستگاه LVDT استفاده شد. به این ترتیب که مبدل (RPD Electronics, UK) در قسمت مرکز cover slip و در تماس با آن قرار داده شد و سپس، با دو بیچ در محاصل خود ثابت گردید.

کاهش میزان انقباض پلیمریزاسیون، جهت بهبود بخشیدن به خواص مهروموم کنندگی کامپوزیت‌ها همیشه مدنظر بوده است. از این رو، کامپوزیت‌های با پایه سیلوران در سال ۲۰۰۷ برای اولین بار به بازار عرضه شدند (۶). سیلوران به دلیل انقباض پلیمریزاسیون کم و همچنین خاصیت آب‌گریزی اش به عنوان جایگزینی برای متاکریلات د. ساختار، ماتریکس، کامپوزیت، معروف شده است.

نام سیلوران از ترکیب نام‌های Siloxane و Oxirane که ساختار تشکیل دهنده آن هستند، گرفته شده است. یک مولکول سیلوران حاوی یک هسته Siloxane می‌باشد که ۴ حلقه Oxirane به آن متصل هستند (۵). ادعا شده است که باز شدن حلقه‌های Cycloaliphatic oxirane در طی پلیمریزاسیون، سبب کاهش انقباض شیکه سیله‌ان: مر شدم (۷).

هدف از انجام این مطالعه مقایسه میزان انقباض پلیمریزاسیون دو نوع مختلف کامپوزیت‌های نوری با بیس دی‌متاکریلات و سیلوران، با دو دستگاه تابش LED با شدت‌های مختلف، بهد.

روش بررسی

دو کامپوزیت متفاوت Filtek Z250 (3M ESPE, St Paul, USA) و Filtek P90 (3M ESPE, St Paul, USA) در این مطالعه مورد استفاده قرار گرفتند. وینگر، های، کامپوزیت‌های، مورد استفاده در

جدول ۱- وینگهای کامیو: بت‌های مورد مطالعه

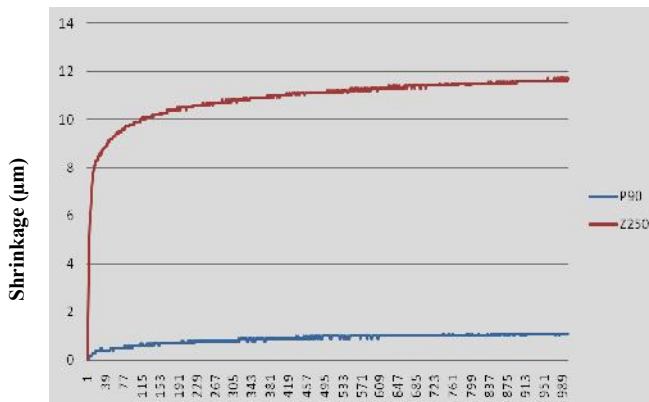
نام تجاری	نوع	رزین	ترکیب فیلر	سایز فیلر (μm)	درصد حجمی فیلر	درصد وزنی فیلر
Filtek P90	Low shrinkage posterior restorative	Silorane	Quartz, yttrium fluoride	.1 - 2	55%	76%
Filtek Z250	Hybrid	Bis-GMA, UDMA, Bis-EMA, TEGDMA	Zirconia/Silica	.01 - 3/5	60%	87%

جدول ۲- ویژگی‌های دستگاه‌های تابشی مورد استفاده در مطالعه

نام دستگاه تابشی	سازنده	نوع دستگاه	روش تابش
Ultralume2	Ultradent/USA	دیود	mW/cm^2 ٤٥٠ - ٤٠ ثانیه
Bluephase 16i	Ivoclar/Vivadent, Liechtenstein	دیود با توان بالا	mW/cm^2 ١٨٠ - ١٠ ثانیه

انقباض High Power LED در میزان انقباض پلیمریزاسیون دیده نشد (در گروه Z250 P=0/094 و در گروه P90 P=0/019).

در نمودار ۱ الگوی انقباضی دو نوع کامپوزیت با دو دستگاه تابشی نیز مشاهده می‌شود.



سپس تابش از زیر نمونه‌ها انجام شد. همزمان با تابش نور در اثر انقباض نمونه کامپوزیتی، دیسک دچار خمش شده که این خمش توسط مبدل (Transducer) با دقت ۰/۰۱ میکرون مانیتور شده و تغییرات توسط Recorder در کامپیوتر ثبت شد. با توجه به اینکه طبق مطالعه Watts و Cash (۸) در این متد، انقباض عمدتاً در جهت ورتیکالی است، فقط تغییرات ضخامت نمونه البته تا ۱۵ دقیقه بعد از تمام تابش نور اندازه‌گیری شد.

انحراف اندازه‌گیری شده

ارتفاع اولیه کامپوزیت

روش تجزیه و تحلیل آماری

آنالیز آماری Two-way ANOVA انجام شد. حد معنی‌داری آماری کوچک‌تر از ۰/۰۵ در نظر گرفته شد.

یافته‌ها

برای بررسی انقباض پلیمریزاسیون از دستگاه LVDT استفاده شد. میانگین و انحراف معیار میزان انقباض خطی با دو دستگاه تابشی، در دو نوع کامپوزیت، در جدول ۳ آمده است. این مقادیر درمورد کامپوزیت Z250 کبور شده با LED و High Power LED با $11/15 \pm 0/08 \mu\text{m}$ و $11/51 \pm 0/17 \mu\text{m}$ درمورد کامپوزیت P90 کبور شده با LED و High Power LED به ترتیب $11/15 \pm 0/08 \mu\text{m}$ و $11/51 \pm 0/17 \mu\text{m}$ بود. همان‌گونه که مشاهده می‌شود با هر دو نوع دستگاه تابشی LED و High Power LED متوسط درصد انقباض در کامپوزیت P90 نسبت به کامپوزیت Z250 به طرز معنی‌داری کمتر بود (P<0/001). در هر دو گروه Z250 و P90 و هیچ تفاوت معنی‌داری بین دستگاه‌های تابشی LED و

بحث و نتیجه‌گیری

در این مطالعه، انقباض پلیمریزاسیون به عنوان یک فاکتور مهم در ارزیابی عملکرد کلینیکی کامپوزیتها مورد بررسی قرار گرفت. همانطور که می‌دانیم انقباض پلیمریزاسیون یکی از ویژگی‌های ذاتی کامپوزیت‌هاست و مشکلاتی از قبیل حساسیت بعد از درمان، عود پوسیدگی و تغییر رنگ مارجینال را سبب می‌شود که همگی به نحوی با طول عمر ترمیم ارتباط دارند (۴).

از جدول ۳ می‌توان نتیجه گرفت که بین دو نوع کامپوزیت مورد مطالعه از لحاظ میزان انقباض تفاوت معنی‌داری وجود دارد و میزان انقباض کامپوزیت P90 نسبت به Z250 به طرز معنی‌داری در زمان آزمایش شده، کمتر است که این موضوع درمورد هر دو دستگاه تابشی صادق است.

جدول ۳- میزان انقباض با دو دستگاه تابشی، در دو نوع کامپوزیت

دستگاه تابشی	نوع کامپوزیت	انقباض خطی (میکرون) ± انحراف معیار	تعداد نمونه
LED	Z250	$11/15 \pm 0/08$	۱۰
	P90	$1/08 \pm 0/06$	۱۰
High Power LED	Z250	$11/51 \pm 0/17$	۱۰
	P90	$1/16 \pm 0/12$	۱۰

میزان انقباض اندازه‌گیری شد. در این مطالعه میزان خمش کاسپی و درنتیجه میزان انقباض در کامپوزیت‌های با انقباض کم به طرز معنی‌داری از کامپوزیت با بیس متابریلات کمتر بود.

در مورد دستگاه‌های تابشی هیچکدام با دیگری تفاوت معنی‌داری نداشتند؛ که این موضوع احتمالاً در ارتباط با کل انرژی دانسیته ایجاد شده در هر کدام از این دستگاه‌هاست که با هم برابر و 18 j/cm^2 می‌باشد. در مطالعه Tarle و همکاران میزان انقباض کامپوزیت‌های Z250 و Tetric ceram کیور شده با LED و QTH متفاوت و در LED کمتر از QTH بود که این موضوع با پایین‌تر بودن انرژی دانسیته LED توجیه گردید (۱۲). در مطالعه‌ای که Calheiros و همکاران به بررسی اثر شدت انرژی دستگاه تابشی بر میزان انقباض پرداخته‌اند، ارتباطی بین انرژی دانسیته و انقباض مشخص شد. در دستگاه‌های تابشی با شدت‌های انرژی بالاتر میزان انقباض نیز بالاتر بوده است (۱۳). اگرچه سیلوران به علت پلیمریزاسیون Cationic Ring Opening باشد، یک کامپوزیت Low Shrinkage است، ولی باید توجه کرد که انقباض پایین لزوماً سبب کاهش Marginal gap می‌شود (۱۴).

استرس ایجاد شده در ایترفیس دندان و ترمیم، نتیجه پروسه پیچیده انقباض، سرعت کبورینگ و الاستیک مدولوس ماده است (۱۵). به علاوه واپسیه به شکل تهیه حفره نیز می‌باشد (۱۶). سیلوران ضریب الاستیسیته کمتری نسبت به رزین‌های متابریلات دارد، که ممکن است در کلینیک جهت کاربرد در نواحی با استرس بالا و نیروهای اکلولزال سنگین مناسب نباشد. پس بهتر است که این ماده در شرایطی که Factor C.Bزرگتر است، بیشتر مورد استفاده قرار گیرد (۱۷).

در این مطالعه از LVDT جهت اندازه‌گیری تغییرات ارتفاع نمونه کامپوزیتی بعد از پلیمریزاسیون، استفاده شد. روش‌های دیگری نیز برای بررسی انقباض پلیمریزاسیون وجود دارد که می‌توان به AcuVol و Laser triangulation method (Bisco, Inc, Schaumburg, IL) اشاره کرد. در آنها انقباض درجهت اگزیال با استفاده از دو سنسور متشی حساس به لیزر و اندازه‌گیری میزان جابجایی آنها به یک Navigator محاسبه می‌گردد (۱۸). AcuVol دستگاهی است برای اندازه‌گیری انقباض حجمی که با تکنیک تصویربرداری ویدیویی

این موضوع مربوط به مکانیسم پلیمریزاسیون سیلوران و تفاوت آن با متابریلات‌هاست. این ماده که از واکنش بین اکسی‌ران و سیلوکسان به دست می‌آید، قادر به جبران انقباض به وسیله باز شدن حلقه اکسی‌ران و افزایش هیدروفوبیسیته به علت وجود سیلوکسان است. واکنش پلیمریزاسیون Ring opening برخلاف واکنش پلیمریزاسیون رادیکال آزاد موجود در متابریلات‌ها، سبب ایجاد ساختارهای موازی می‌شود. باز شدن حلقه‌های اکسی‌ران حین پلیمریزاسیون، کاهش حجم ناشی از پک شدن مونومرها را جبران کرده و سبب انقباض کم این ماده می‌شود (۷). با مشاهده نمودار ۱ مشخص می‌شود که الگوی انقباض این دو کامپوزیت هم کاملاً از یکدیگر متفاوت است. در مورد کامپوزیت Z250 با بیس متابریلات، منحنی انقباض کمی بعد از شروع Photo activation افزایش می‌یابد و بیشترین میزان انقباض در ابتدای نوردهی ایجاد شده و بعد از این مرحله، انقباض بیشتر به صورت تدریجی ایجاد می‌گیرد.

منحنی انقباض P90 کاملاً متفاوت از Z250 می‌باشد. با مشاهده نمودار ۱ مشخص می‌شود که الگوی انقباضی سیلوران به این صورت است که افزایش ناگهانی حین نوردهی را ندارد و به تدریج با مقادیر کمتری نسبت به کامپوزیت با بیس متابریلات ادامه می‌یابد. مطالعات نشان داده‌اند حلقه‌های سیلوران در طول زمان به آرامی به باز شدن ادامه می‌دهند و می‌توانند انقباض ایجاد شده به وسیله تشکیل شبکه سه بعدی پلیمر را جبران کنند که به این قابلیت سیلوران living polymerization می‌گویند (۹).

انقباض و الگوی آن، در مورد کامپوزیت Z250، مشابه مطالعه Ilie و همکاران (۱۰) در سال ۲۰۰۶ بود که در آن مطالعه، میزان استرس انقباض پلیمریزاسیون کامپوزیت‌های هیبرید، میکروفیل و نانوفیل (Tetric Ceram و Durafill، Charisma، Filtek Supreme، Z100) با بیس متابریلات را بعد از ۳۰۰ ثانیه (۵ دقیقه) بررسی کرده و الگوی انقباضی آن‌ها شبیه Z250 در مطالعه حاضر بود (۱۰). در مطالعه‌ای دیگر که توسط Tantbirojn و همکاران (۱۱) در سال ۲۰۱۱ انجام گرفت و میزان انقباض از روی خمش کاسپی اندازه‌گیری شد، نتایج مشابهی به دست آمد. در این مطالعه از کامپوزیت‌های با بیس متابریلات (Supreme Plus) و کامپوزیت‌های با انقباض کم و Kalore) و P90) استفاده شد و تا ۱۰ دقیقه بعد از پلیمریزاسیون،

معنی‌داری بین دستگاه‌های تابشی LED و High Power LED در میزان انقباض پلیمریزاسیون هر دو نوع کامپوزیت دیده نشد. همین‌طور الگوی انقباضی این دو نوع کامپوزیت هم متفاوت از یکدیگر بود.

تشکر و قدردانی

ضمن تشکر از زحمات آقای دکتر احمد رضا شمشیری برای مشاوره آماری، این مقاله نتیجه طرح تحقیقاتی (کد ۱۰-۹۷-۱۰۵۱۰-۸۹) مصوب مرکز تحقیقات لیزر دانشکده دندانپزشکی دانشگاه علوم پزشکی تهران می‌باشد، که بدین‌وسیله از معاونت پژوهشی قدردانی می‌شود.

کار می‌کند. این دستگاه بر پایه اندازه‌گیری نوری بنا شده است و تصاویری از نمونه را قبل و بعد از پلیمریزاسیون جمع‌آوری و مقایسه کرده و تغییرات حجم نمونه را گزارش می‌دهد (۱۹).

در این مطالعه، میزان انقباض پلیمریزاسیون در دو کامپوزیت P90 و Z250 توسط دستگاه‌های تابشی LED (Ultralume 16i) بررسی شد. نتایج نشان داد که در مقایسه میزان انقباض پلیمریزاسیون بین دو کامپوزیت، P90 به طرز معنی‌داری انقباض کمتری نسبت به Z250 با هر دو نوع دستگاه تابشی ذکر شده داشت. هیچ تفاوت

منابع:

- 1- Althoff O, Hartung M. Advances in light curing. Am J Dent. 2000;13(Spec No):77D-81D.
- 2- Yap AU, Wang HB, Siow KS, Gan LM. Polymerization shrinkage of visible-light-cured composites. Oper Dent. 2000;25(2):98-103.
- 3- Li Y, Sun X, Chen J, Xiong J, Hu X. Polymerization shrinkage/stress and dentin bond strength of silorane and dimethacrylate-based dental composites. J Appl Polym Sci. 2012;124(5):436-43.
- 4- Xiong J, Sun X, Li Y, Chen J. Polymerization shrinkage, stress, and degree of conversion in silorane- and dimethacrylate-based dental composites. J Appl Polym Sci. 2011;122(3):1882-8.
- 5- Boaro LC, Gonçalves F, Guimarães TC, Ferracane JL, Versluis A, Braga RR. Polymerization stress, shrinkage and elastic modulus of current low-shrinkage restorative composites. Dent Mater. 2010;26(12):1144-50.
- 6- Lowe RA. The search for a low-shrinkage direct composite. Inside Dent. 2010;1:78-84.
- 7- Weinmann W, Thalacker C, Guggenberger R. Siloranes in dental composites. Dent Mater. 2005;21(1):68-74.
- 8- Watts DC, Cash AJ. Determination of polymerization shrinkage kinetics in visible- light- cured materials: methods development. Dent Mater. 1991;7(4):281-7.
- 9- Miletic V, Ivanovic V, Dzeletovic B, Lezaja M. Temperature changes in silorane-, ormocer-, and dimethacrylate-based composites and pulp chamber roof during light-curing. J Esthet Restor Dent. 2009;21(2):122-31.
- 10- Ilie N, Kunzelmann KH, Hickel R. Evaluation of microtensile bond strengths of composite materials in comparison to their polymerization shrinkage. Dent Mater. 2006;22(7):593-601.
- 11- Tantbirojn D, Pfeifer CS, Braga RR, Versluis A. Do Low-shrink composites reduce polymerization shrinkage effects? J Dent Res. 2011;90(5):596-601.
- 12- Tarle Z, Knezevic A, Demoli N, Meniga A, Sutaloa J, Unterbrink G, et al. Comparison of composite curing parameters: Effect of light source and curing mode on conversion, temperature rise and polymerization shrinkage. Oper Dent. 2006;31(2):219-26.
- 13- Calheiros FC, Daronch M, Rueggeberg FA, Braga RR. Influence of irradiation energy on degree of conversion, polymerization rate and shrinkage stress in an experimental resin composite system. Dent Mater. 2008; 24(9):1164-8.
- 14- Ilie N, Hickel R. Macro-, micro- and nano-mechanical investigations on silorane and methacrylate-based composites. Dent Mater. 2009; 25(6):810-9.
- 15- Van Ende A, De Munck J, Mine A, Lambrechts P, Van Meerbeek B. Does a low-shrinking composite induce less stress at the adhesive interface? Dent Mater. 2010;26(3):215-22.
- 16- Bagis YH, Baltacioglu IH, Kahyaogullari S. Comparing microleakage and the layering methods of silorane-based resin composite in wide Class II MOD cavities. Oper Dent. 2009; 34(5):578-85.
- 17- van Dijken JW. Durability of resin composite restorations in high C-factor cavities: a 12-year follow-up. J Dent. 2010;38(6):469-74.
- 18- Gao BT, Zheng G, Lin H. A new dynamic approach to monitoring dental composite curing kinetics. Beijing Da Xue Xue Bao. 2011;43(6):895-9.
- 19- Sharp LJ, Choi IB, Lee TE, Sy A, Suh BI. Volumetric shrinkage of composite using video-imaging. J Dent. 2003;31(2):97-103.